

18Cr9Ni3CuNbN 奥氏体耐热钢中 富 Cu 相的早期析出行为*

于鸿垚¹ 迟成宇²

1. 钢铁研究总院高温材料研究所 北京 100081

2. 中国电力投资集团公司 中电投核电技术中心(北京)有限公司 北京 100044

摘要 应用三维原子探针技术研究了 600℃ 超超临界电站锅炉过热器/再热器用 18Cr9Ni3CuNbN 奥氏体耐热钢中强化相富 Cu 相的早期析出行为, 并绘制出富 Cu 相在 18Cr-9Ni 型奥氏体耐热钢中的 C 曲线。结果表明: 在高温时效过程中富 Cu 相无论在 650℃ 还是在 700℃ 均能较快地析出, 其形成过程都是在短时间内先形成富 Cu 偏聚区, 随着时效时间的延长 Cu 原子继续扩散到富 Cu 偏聚区, 其它原子如 Fe, Cr, Ni 等则被排出富 Cu 偏聚区而扩散到奥氏体基体中, 最终形成富 Cu 相。

关键词 金属材料, 奥氏体耐热钢, 18Cr9Ni3CuNbN, 三维原子探针技术, 富 Cu 相, C 曲线

分类号 TG142

文章编号 1005-3093(2015)03-0195-06

Precipitation Behavior of Cu-rich Phase in 18Cr9Ni3CuNbN Austenitic Heat-Resistant Steel at Early Aging Stage

YU Hongyao^{1**} CHI Chengyu²

1. High Temperature Materials Research Institute, Central Iron & Steel Research Institute, Beijing 100081, China

2. CPI Nuclear Power Institute, China Power Investment Corporation, Beijing 100044, China

*Supported by National Natural Science Foundation of China No. 50931003.

Manuscript received October 21, 2014; in revised form November 17, 2014.

**To whom correspondence should be addressed, Tel: 13810275456, E-mail: hongyao21@163.com

ABSTRACT The precipitation behavior of the strengthening precipitate Cu-rich phase at the early aging stage in 18Cr9Ni3CuNbN austenitic heat-resistant steel, which is commonly used as tubes for superheater and/or reheater at 600℃ of USC power plants, has been investigated by three dimensional atom probe (3DAP), and C curve of Cu-rich phase in 18Cr-9Ni type steel has been given. Experimental results show that the Cu-rich phase precipitates quickly at the early stage of long-term aging treatment at both 650℃ and 700℃. The Cu-rich segregation clusters quickly form and then the Cu atoms diffuse from the γ -matrix into the Cu-rich segregation clusters. The atoms of Fe, Cr and Ni from Cu-rich clusters diffuse outwards to the γ -matrix simultaneously, finally the Cu-rich phase forms.

KEY WORDS metallic materials, austenitic heat-resistant steel, 18Cr9Ni3CuNbN, 3DAP, Cu-rich phase, C curve

随着经济的高速发展, 对电力的需求不断增加。同时, 随着人们环境保护意识的增强要求燃煤电厂进一步提高热效率, 降低排放, 大力发展超超临界电站是当前行之有效的重要措施之一^[1-3]。为了适应超超临界电站锅炉用材的需求, 各种改良的铁素体型和新型奥氏体耐热钢陆续开发出来^[4-6]。目前 Super304H(18Cr9Ni3CuNbN)已广泛用于 600℃ 超超临界电站锅炉中的过热器/再热气管道等高温高压

部件^[7, 8]。18Cr9Ni3CuNbN 钢是一种典型的 18Cr-9Ni 型奥氏体耐热钢^[9]。它是在 ASME SA-213 TP304H 的基础上降低 Mn 含量上限, 加入约 3%(质量分数)的 Cu^[10], 在长期服役过程中逐渐析出纳米尺寸的富 Cu 相^[11]; 同时添加了 0.45%(质量分数)的 Nb 和一定量的 N 元素, 在服役过程中还逐渐析出复杂的碳氮化物, 并与晶界析出的 M₂₃C₆ 碳化物等第二相颗粒一起产生极佳的强化作用^[12]。在 650℃、10⁵ h 条件下 18Cr9Ni3CuNbN 耐热钢的高温蠕变断裂强度明显高于 100 MPa^[13], 使其广泛应用于过热器/再热器等部件。

* 国家自然科学基金资助项目 50931003。

2014 年 10 月 21 日收到初稿; 2014 年 11 月 17 日收到修改稿。

本文联系人: 于鸿垚

现阶段对 18Cr9Ni3CuNbN 耐热钢的热加工工艺^[14]以及高温长期时效过程中显微组织的演变^[12, 13, 15-18]都有一些报道,认为在长期时效过程中富 Cu 相、MX 相、M₂₃C₆相等有良好的强化效果,但是关于强化相富 Cu 相的早期析出行为并没有深入的报道。日本住友公司公布了 18Cr9Ni3CuNbN 耐热钢中析出相的温度-时间曲线,认为在高温长期时效过程中 18Cr9Ni3CuNbN 耐热钢中会依次析出富 Cu 相, M₂₃C₆碳化物和 MX 相,并认为在更长时间时效过程中 MX 相会转变为 NbCrN 相。但是富 Cu 相的析出曲线仍为虚线,对富 Cu 相的早期析出行为并没有明确报道。而析出相的早期析出行为影响其后期的析出、长大及粗化等行为,因此有必要对富 Cu 相的早期析出行为进行深入研究。本文用三维原子层析技术(3DAP)的微观分析方法,研究 18Cr9Ni3CuNbN 耐热钢在高温时效过程中强化相富 Cu 相的早期析出行为。

1 实验方法

实验用材料是 18Cr9Ni3CuNbN 奥氏体耐热钢,其成分列于表 1。为了单独研究富 Cu 相在 18Cr-9Ni 型奥氏体耐热钢中的析出行为,设计了仅添加 Cu 元素的 18Cr-9Ni 奥氏体耐热钢(S),即在 18Cr9Ni3CuNbN 耐热钢的基础上不加 Nb 及 N 元素,仅加入 3%Cu 元素,其成分也列于表 1。于是,在高温短时时效过程中只有富 Cu 相在晶内析出,有利于研究富 Cu 相的早期析出特征。

考虑到 18Cr9Ni3CuNbN 奥氏体耐热钢是用于 600℃超超临界电站锅炉过热器/再热器部件,其金属材料的服役温度在 650℃左右,因此设计 C 曲线的测定温度为 550℃至 700℃,时间间隔为 50℃,而时效时间为 0.5 h 至 5 h。由于在早期析出阶段富 Cu 相的尺寸为纳米级,采用其他技术手段较难捕获富 Cu 相的颗粒,同时为了获得其化学成分的变化本文采用三维原子探针技术来观察细小的富 Cu 相颗粒。根据三维原子探针的结果绘制出纳米强化相富 Cu 相的 C 曲线,并分析此奥氏体耐热中富 Cu 相早期析出行为的规律。

表 1 18Cr9Ni3CuNbN 耐热钢及 S 实验钢的化学成分(质量分数, %)

Table 1 Chemical compositions of 18Cr9Ni3CuNbN heat resistant steel and S steel (mass fraction, %)

Steel grade	C	Si	Mn	P	S	Ni	Cr	Cu	Nb	N	Fe
ASME	0.07-0.13	≤0.30	≤1.00	≤0.040	≤0.010	7.50-10.50	17.00-19.00	2.50-3.50	0.30-0.60	0.05-0.12	Bal.
18Cr9Ni3CuNbN	0.08	0.23	0.80	0.027	0.001	9.5	18.51	2.81	0.51	0.11	Bal.
S steel	0.07	0.07	<0.05	<0.03	0.0031	9.37	18.02	3.05	<0.1	0.020	Bal.

2 结果和讨论

2.1 富 Cu 相的 C 曲线

图 1 给出了纳米析出相富 Cu 相在 S 实验钢中的 C 曲线,其中黑色实心方块代表在相应温度和时间下富 Cu 相析出,而白色方块代表在相应温度和时间下富 Cu 相没有析出。从图 1 可见, S 实验钢在 700℃时效 0.5 h 时即有富 Cu 相的析出;而在 650℃时效 0.5 h 并没有富 Cu 相的析出,时效至 1 h 时富 Cu 相析出。在较低温度 600℃时效 0.5 h 和 1 h 都没有富 Cu 相的析出,直到 3 h 才观察到富 Cu 相的析出;在更低温度 550℃时效 3 h 仍未观察到富 Cu 相的析出。这表明,在高温 700℃富 Cu 相能较快地析出;在低温短时时效过程中并没有富 Cu 相析出,但在低温较长时间仍可能析出富 Cu 相。其原因是,在热力学平衡相图中在 600℃以下仍存在富 Cu 相^[19]。考虑到 18Cr9Ni3CuNbN 奥氏体耐热钢的实际服役温度在 650℃左右,本文重点比较分析在 650℃和 700℃富 Cu 相早期析出行为的特征。

2.2 650℃时效富 Cu 相的早期析出行为

图 2 给出了 S 实验钢时效后富 Cu 相的 3DAP 结果,其中 a)和 b)分别是 650℃时效 1 h 和 5 h 后富 Cu 相的 3DAP 结果。图 2 中一个点表示一个 Cu 原子,其中的界面表示边界浓度为 8%时的富 Cu 颗粒边界。从图 2a 可以看出,在 650℃时效仅仅 1 h 就有富

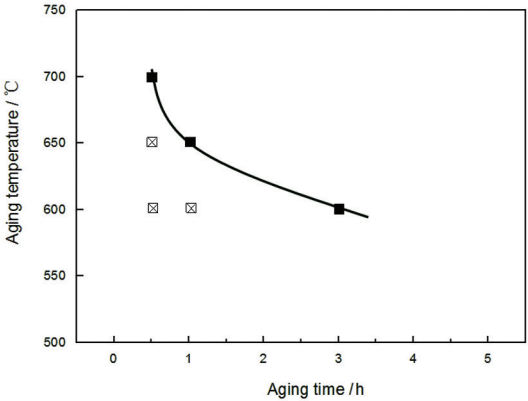


图 1 富 Cu 相在 S 实验钢中的 C 曲线

Fig.1 C curve of Cu-rich phase in experimental steel S (Black ones: Cu-rich phase precipitated, White ones: no Cu-rich phase precipitated)

Cu 颗粒形成, 其尺寸极其细小。从图 2b 可以看出, 当时效时间延长至 5 h 富 Cu 颗粒有所长大, 颗粒密度明显增加。

图 3a 和 b 分别给出了 S 实验钢在 650℃ 时效 1 h 和 5 h 后一个富 Cu 颗粒的 3DAP 结果。从图 3a 可见, 在

子发生偏聚, 但是富 Cu 颗粒中的 Cu 原子个数较少, 仅形成了富 Cu 偏聚区。与图 3a 对比, 图 3b 中 650℃ 时效 5 h 后的富 Cu 颗粒, 含有较多的 Cu 原子, 尺寸明显长大, 约为 5 nm。

图 4a 和 b 分别给出了 S 实验钢 650℃ 时效 1 h 和

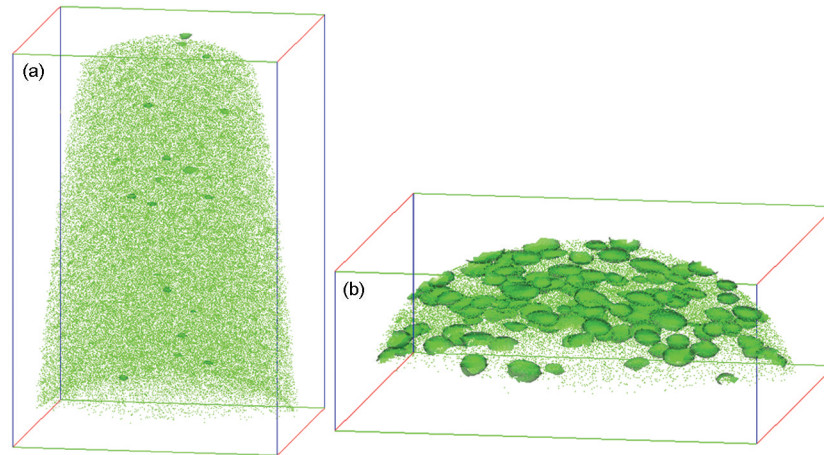


图2 S 实验钢在 650℃ 时效不同时间后富 Cu 颗粒 3DAP 结果

Fig.2 3DAP results of Cu-rich phase in experimental steel S after short-time aging (a) 650°C/1 h and (b) 650°C/5 h (selected box: (a) $65 \times 65 \times 100 \text{ nm}^3$, (b) $30 \times 90 \times 95 \text{ nm}^3$)

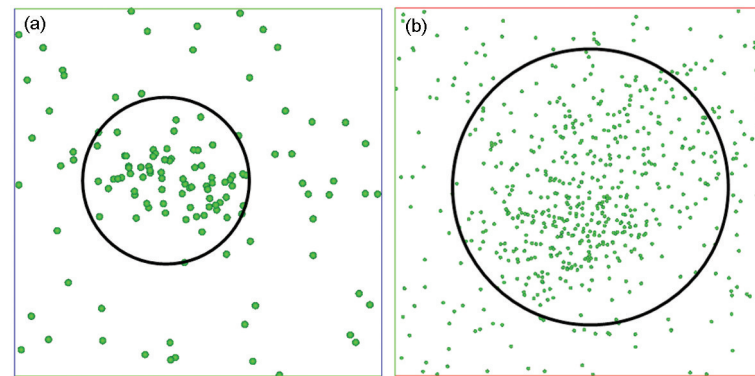


图3 S 实验钢在 650℃ 时效不同时间后富 Cu 颗粒 3DAP 结果

Fig.3 3DAP results of Cu-rich phase in experimental steel S after short-time aging (a) 650°C/1 h and (b) 650°C/5 h (selected box: (a) $5 \times 5 \times 5 \text{ nm}^3$, (b) $10 \times 10 \times 5 \text{ nm}^3$)

650℃ 时效仅 1 h 时 Cu 原子

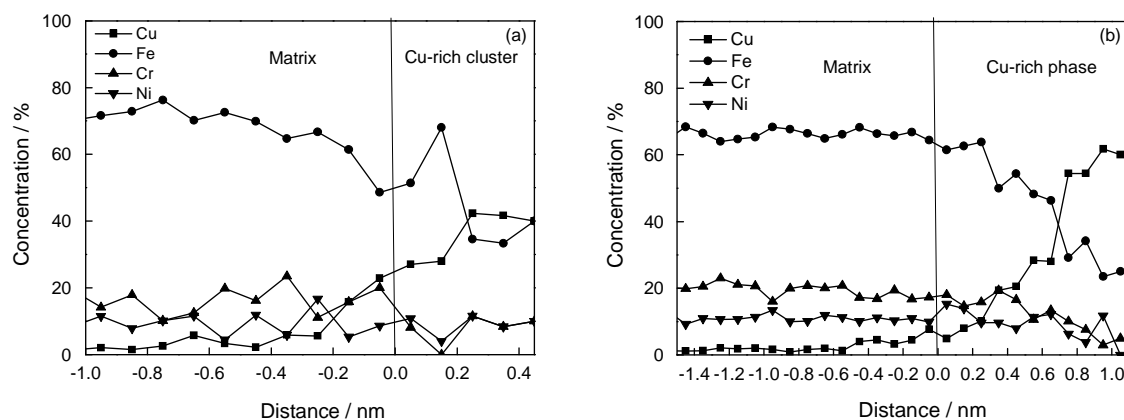


图4 S 实验钢在 650℃ 时效不同时间后基体和富 Cu 颗粒中 Cu, Fe, Cr 和 Ni 元素浓度分布

Fig.4 Distribution of Cu, Fe, Cr and Ni elements in γ -matrix and a Cu-rich segregation area of experimental steel S (a) 650°C/1 h and (b) 650°C/5 h

5 h后富Cu颗粒浓度分布图。时效1 h后富Cu颗粒中Cu原子的浓度在40%左右,此时的富Cu颗粒仅

效1 h富Cu相的平均半径约为3 nm,时效至5 h其平均半径有所增长。

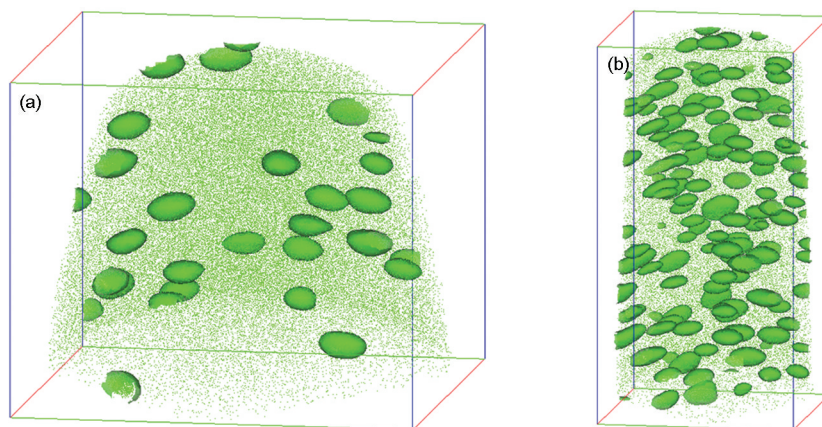


图5 S实验钢时效后富Cu颗粒3DAP结果

Fig.5 3DAP results of Cu-rich phase in experimental steel S after short-time aging (a) 650°C/1 h and (b) 650°C/5 h (selected box: (a) 65×80×80 nm³, (b) 130×65×70 nm³)

仅是富Cu偏聚区。而时效至5 h时富Cu颗粒中Cu原子浓度达到了60%以上,同时可知,富Cu颗粒中Fe原子的浓度明显低于基体中Fe原子的浓度,此时已经形成了富Cu相。

2.3 700°C时效富Cu相的早期析出行为

图5a和b分别给出了S实验钢700°C时效1 h和5 h后富Cu相的3DAP结果。同样,一个点表示一个Cu原子,其中的界面表示边界浓度为8%时的富Cu颗粒边界。从图5a可以看出,时效仅1 h时就已经有富Cu颗粒形成。当时效时间延长至5 h时,富Cu颗粒长大,密度明显增高。

图6给出了S实验钢在700°C时效1 h后富Cu颗粒的3DAP结果。在700°C时效仅1 h时Cu原子明显偏聚,已经明显形成富Cu相,尺寸约为5~6 nm。与图3对比,同样时效1 h,在700°C时效后富Cu颗粒含有较多的Cu原子,已经形成了明显的富Cu相,而在650°C时效仅仅是Cu原子的偏聚,形成的是富Cu原子偏聚区。

图7给出了S实验钢700°C时效1 h后富Cu颗粒浓度分布图。在700°C时效仅仅1 h富Cu颗粒中Cu原子的浓度就已经达到90%以上,Fe原子的浓度降低至10%以下,远远低于Fe在基体中的浓度。此时富Cu颗粒中Cu原子的浓度远远高于650°C时效1 h时富Cu颗粒中Cu原子的浓度,形成了富Cu相。

图8给出了富Cu颗粒在18Cr-9Ni型奥氏体耐热钢中高温短时效过程中平均半径的变化。富Cu颗粒在650°C时效1 h其平均半径约为1 nm,时效至5 h其平均半径增长到2 nm左右。而在700°C时

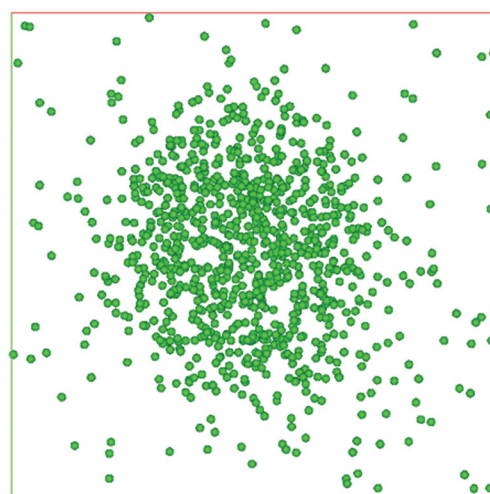


图6 S实验钢在700°C时效1 h后富Cu颗粒3DAP结果

Fig.6 3DAP result of Cu-rich phase in experimental steel S after 700°C/1 h aging (selected box: 8×8×10 nm³)

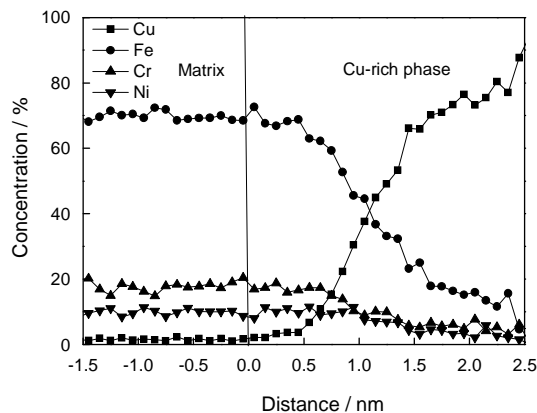


图7 S实验钢700°C时效1 h后基体和富Cu颗粒中Cu, Fe, Cr和Ni元素浓度分布

Fig.7 Distribution of Cu, Fe, Cr and Ni elements in γ -matrix and a Cu-rich segregation area of experimental steel S after 700°C/1 h aging

无论是在 650℃ 还是在 700℃ 析出富 Cu 相, 其形成过程主要包括晶体结构和化学成分两个方面的变化。对于 18Cr9Ni3CuNbN 耐热钢^[19], 其基体为面心立方结构(FCC)的奥氏体, 晶格常数为 0.35698 nm; 而对于纯铜, 也为 FCC 晶体结构, 其晶格常数为 0.36153 nm; 并且已经证实, 析出的富 Cu 相含有大量的 Cu 原子, 并与奥氏体基体共格^[19], 因此在其形成过程中并没有观察到晶体结构的转变。在析出的早期形成的是富 Cu 团簇偏聚区, 形成富 Cu 相后则一直保持着面心立方结构, 没有发生晶体结构的转变。但是在奥氏体耐热钢中富 Cu 相的形成过程中,

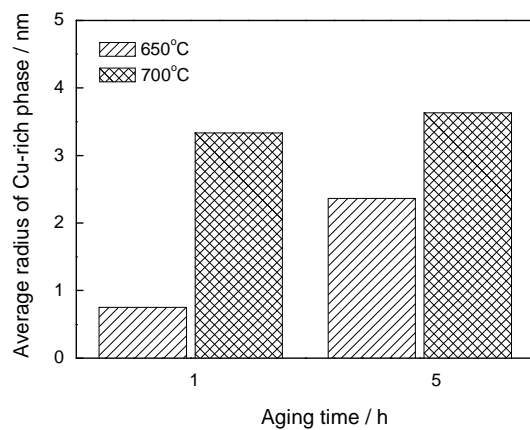


图8 在 18Cr-9Ni 型奥氏体耐热钢 S 短时时效过程中富 Cu 相平均半径的变化

Fig.8 Changes of average radius of Cu-rich phase in 18Cr-9Ni type steel S during short-time aging

其化学成分发生了较大改变。三维原子探针测试结果表明: 在初期 Cu 原子富集, 形成含有一定量 Cu 原子的富 Cu 偏聚区; 随后 Fe, Ni, Cr 原子逐渐被排出富 Cu 偏聚区, Cu 原子则不断到富 Cu 偏聚区, 最终形成含有大量 Cu 原子的富 Cu 相。由于富 Cu 相在形成过程中其成分有较大变化, 本文根据成分的起伏来判断富 Cu 相的形成, 定义当 Cu 原子浓度超过 50% 时形成富 Cu 相; 而 Cu 原子浓度低于 50% 则形成的是富 Cu 偏聚区。在 650℃ 时效 1 h 仅形成富 Cu 偏聚区, 时效 5 h 后形成了富 Cu 相; 而在 700℃ 只时效 1 h 即形成了富 Cu 相。

综上所述, 在 18Cr-9Ni 型奥氏体耐热钢中, 无论在 650℃ 亦或是 700℃ 时效富 Cu 相都较快析出并且长大缓慢, 在 650℃ 长期时效至 10, 000 h 其尺寸仍为几十纳米^[17], 并与基体保持共格^[19], 具有良好的热稳定性, 有优良的强化效果。因此, 可以尝试将其应用到其它耐热钢中以提高材料的高温强度。

3 结 论

1. 无论在 650℃ 还是 700℃ 时效, 18Cr-9Ni 型奥氏体耐热钢中的强化相富 Cu 相都能在极短的时效时间内较快析出。

2. 在高温时效过程中富 Cu 相的形成过程: 先是 Cu 原子富集形成富 Cu 偏聚区, 随着时效时间的延长 Cu 原子扩散到富 Cu 偏聚区, Fe, Cr, Ni 等原子则被排除富 Cu 偏聚区而扩散到奥氏体基体, 最终形成富 Cu 相。

3. 在 650℃ 和 700℃ 短时时效过程中析出的富 Cu 相非常细小, 其尺寸仅为几个纳米。在 700℃ 短时时效后富 Cu 相的尺寸略大于在 650℃ 短时时效后富 Cu 相的尺寸。

致谢: 本文作者感谢北京科技大学材料科学与工程学院董建新教授、谢锡善教授以及巴西矿冶公司 Mariana Perez 博士的指导和帮助, 同时感谢巴西矿冶公司(CBMM)和中信金属有限公司(CITIC)的资助。

参 考 文 献

- 1 LIN Fusheng, WANG Zhizheng, WANG Baozhong, CHENG Shichang, XIE Xishan, Research, application and development of domestic heat-resistant steels and alloys for power plants, Journal of Chinese Society of Power Engineering, **30**(4), 235(2010) (林富生, 王治政, 王宝忠, 程世长, 谢锡善, 中国电站用耐热钢及合金的研制、应用与发展, 动力工程学报, **30**(4), 235(2010))
- 2 YANG Huachun, TU Yong, Boiler steel for ultra supercritical sets and feasibility of localized production, Power Equipment, **19**(1), 37 (2005) (杨华春, 屠勇, 超(超临界)机组锅炉钢管选材与国产化可行性, 发电设备, **19**(1), 37(2005))
- 3 R. Viswanathan, J. Sarver, J. M. Tanzosh, Boiler materials for ultra-supercritical coal power plants—steamside oxidation, Journal of Materials Engineering and Performance, **15**(3), 255(2006)
- 4 YANG Fu, LI Weimin, REN Yongning, Alloy steel used for supercritical and ultra supercritical pressure boiler, Electrical Equipment, **5**(10), 41(2004) (杨富, 李为民, 任永宁, 超临界、超超临界锅炉用钢, 电力设备, **5**(10), 41(2004))
- 5 ZHAO Chengzhi, WEI Shuangxiong, GAO Yalong, WANG Yanhua, Progress of heat-resistant steel for supercritical and ultra-supercritical steam turbine, Journal of Iron and Steel Research, **19**(9), 1 (2007) (赵成指, 魏双雄, 高亚龙, 王艳华, 超临界与超超临界汽轮机耐热钢的研究进展, 钢铁研究学报, **19**(9), 1(2007))
- 6 R. Viswanathan, W. Bakker, Materials for ultra-supercritical coal power plants—boiler materials: Part 1, Journal of Materials Engineering and Performance, **10**(1), 81(2001)
- 7 K. Takao, S. Yoshiatsu, Y. Yoshimi, H. Okada, Properties and experiences of a new austenitic stainless steel Super304H (0.1C-18Cr-9Ni-3Cu-Nb-N) tubes for boiler tube application, Materials for Advanced Power Engineering, **4**, 441(1998)
- 8 Y. Sawaragi, K. Ogawa, S. Kato, S. Hirano, Development of the

- economical 18-8 stainless steel (Super304H) having high elevated temperature strength for fossil fired boilers, Sumitomo Search, **48**, 50(1992)
- 9 Y. Sawaragi, S. Hirano, The Development of a new 18-8 austenitic steel (0.1C-18Cr-9Ni-3Cu-Nb, N) with high elevated temperatures strength for fossil power boilers, Proceedings of the International Conference on Mechanical Behaviour of Materials, Japan, **4**, 589 (1992)
 - 10 Chengyu Chi, Jianxin Dong, Wenqing Liu, Xishan Xie, An investigation on precipitation behavior of Cu-rich phases in Super304H heat resistant steel by three dimension atom probe, Materials Science Forum, **654**, 110(2010)
 - 11 Sun Yezhu, Properties of material Super304H used for USC boilers, Electric Power Construction, **24**(9), 11(2003)
(孙叶柱, 用于超超临界锅炉的 Super304H 材料的性能, 电力建设, 24(9), 11(2003))
 - 12 M. Igarashi, H. Okada, H. Semba. Development of 18-8 steel (Super304H) having high elevated temperature strength for fossil fired boilers, CAMP-ISI, **17**, 336(2004)
 - 13 Hongyao Yu, Jianxin Dong, Xishan Xie, 650℃ long-term structure stability study on 18Cr-9Ni-3CuNbN heat-resistant steel, Materials Science Forum, **654**, 118(2010)
 - 14 PENG Fangfang, ZHU Guoliang, SONG Jianxin, Analysis of key manufacturing process in domestic producing for Super304H steel tube applied in ultra-super critical unit, Journal of Power Engineering, **28**(5), 803(2008)
(彭芳芳, 朱国良, 宋建新, 超超临界机组用 Super304H 管国产化关键制造工艺分析, 动力工程, **28**(5), 803(2008))
 - 15 YANG Yan, CHENG Shichang, YANG Gang, Effect of Cu addition on the creep rupture properties of Super304H steel, Materials for Mechanical Engineering, **26**(10), 23(2002)
(杨 岩, 程世长, 杨 钢, Cu 含量对 Super304H 钢持久性能的影响, 机械工程材料, **26**(10), 23(2002))
 - 16 CHI Chengyu, DONG Jianxin, LIU Wenqing, XIE Xishan. 3DAP investigation of precipitation behavior of Cu-rich phase in Super304H heat resistant steel, Acta Metallurgica Sinica, **46**(9), 1141 (2010)
(迟成宇, 董建新, 刘文庆, 谢锡善, 3DAP 研究 Super304H 耐热不锈钢中富 Cu 相的析出行为, 金属学报, **46**(9), 1141(2010))
 - 17 YU Hongyao, CHI Chengyu, DONG Jianxin, CUI Zhengqiang, CHEN Xiaofang. Microstructure evolution of heat-resistant steel Super304H during 650℃ long-term aging, Journal of University of Science and Technology Beijing, **32**(7), 877(2010)
(于鸿垚, 迟成宇, 董建新, 谢锡善, 崔正强, 陈孝方, 650℃ 长期时效过程中 Super304H 耐热不锈钢组织的演变, 北京科技大学学报, **32**(7), 877(2010))
 - 18 A. Iseda, H. Okada, H. Semba, M. Igarashi, Long term creep properties and microstructure of SUPER304H, TP347HFG and HR3C for A-USC boilers, Energy Materials, **2**(4), 199(2007)
 - 19 CHI Chengyu, YU Hongyao, DONG Jianxin, LIU Wenqing, CHENG Shichang, LIU Zhengdong, XIE Xishan, The precipitation strengthening behavior of Cu-rich phase in Nb-contained advanced Fe-Cr-Ni type austenitic heat resistant steel for USC power plant application, Progress in Natural Science: Materials International, **22**(6), 175 (2012)